Vol. 20, No. 2 Mar. 2001

文章编号:1009-038X(2001)02-0177-04

# 痕量硫示波极谱的测定

### 钱俊青

(浙江工业大学生物环境工程学院,浙江杭州 310014)

摘 要:选择硼砂溶液为测定介质,以抗坏血酸(Vc)除去介质中的氧,研究了示波极谱测定痕量硫的方法,并初步探讨了其机理.硫浓度在 $1.0\times10^{-5}\sim1.0\times10^{-7}$  mol/L间呈良好线性 检测下限是  $5.0\times10^{-8}$  mol/L相对标准偏差为 0.49%.选用适当的掩蔽剂,能基本消除常见金属离子的干扰,该方法应用于各种水样的测定,结果满意.

关键词:硫 痕量 示波极谱 水样

中图分类号:Q657.14 文献标识码:A

### The Determination of Visigraph Polarography for Trace Sulphur

QIAN Jun-qing

(College of Biological and Environmental Engineering, Zhejiang University of Technology, Hangzhou 310014, China)

**Abstract**: In this paper , the alkalinity borax solution of pH 10 was selected for medium of determination. To eliminate the oxygen in the medium by Vitamin C , the method of determination of trace sulphur with visigiph polargraphy was studied by the test , and mechanism of method was preliminarily explored. There is good linearity that the concentration of sulphur was between  $1.0\times10^{-5}\sim1.0\times10^{-7}$  mol/L. Limit of detection was  $5.0\times10^{-8}$  mol/L. The relative standard deviation of method was 0.49%. The disturbance of usual metal ion can be eliminated with the suitable shelter. The results might get satisfied that method was applied to determin various water specimens.

Key words: sulphur; trace; visigraph polarography; water specimen

痕量硫的测定在生物、材料领域及水质检验方面均有较重要的应用. 脉冲极谱法、阴极伏安溶出法等 1~4 ]对实验条件要求苛刻,测定结果精密度较差,分光光度法则灵敏度达不到要求 [5],而示波极谱法实验操作简便,测定灵敏度较高,结果精确度良好,应用于痕量硒与碲的测定已有报道 6.7 ]. 作者研究了单扫描示波极谱直接测定痕量硫的方法,以碱性硼砂控制样液 pH 值为 10,通过实验确定了测

定线性范围及检测下限 ,初步探讨了其机理. 测定方法的基本机理为 :未起波瞬间 ,Hg 少量被氧化为  $Hg^{2+}$  , $Hg^{2+}$ 与样液中  $S^{2-}$ 生成 HgS ,并吸附于电极表面 .扫描后 ,HgS 还原为 Hg 与  $S^{2-}$  ,出现还原峰. 以 2 S-二乙二胺二乙酸已二酸为掩蔽剂 ,能基本消除常见金属离子的干扰. 测定结果精密度良好 ,回收率为  $92\%\sim97\%$  .

收稿日期 2000-03-24 ,修订日期 2000-11-08.

作者简介:钱俊青(1964-),男 浙江绍兴人 工学博士 副教授.

万方数据

#### 仪器与试剂 1

JP-1A 型示波极谱仪 成都仪器厂生产 ;79-1 型 伏安分析仪 济南无线电厂生产;pHS-2 型酸度计 上海第二分析仪器厂生产 ;三电极系统 自制 ,滴汞 电极为工作电极.

硫化钠标准溶液:以通氮除氧的 0.5 mol/L NaOH 液为溶剂配 0.05 mol/L Na<sub>2</sub>S 溶液 ,避光保 存,以硝酸银电位滴定法8]每隔两周标定一次:碱 性硼砂溶液 :含1%抗坏血酸的 0.06 mol/L 的硼砂 溶液,以氢氧化钠调 pH 值为 10 2 5-二乙二胺二乙 酸已二酸,简称 TTHA,日本产;其余试剂均为分析 纯 水为去离子重蒸水.

#### 实验方法 2

样液按要求浓度配入硼砂及抗坏血酸,调 pH 值为 10 或取已配制的碱性硼砂液 5.0 mL ,于电解 池中,插入电极,按要求用微量注射器注入一定量 硫标准溶液 ,于  $-0.50 \sim -1.0 \text{ V}$  间扫描测定其导 数波,按标准加入法测水样中硫含量.

# 结果与讨论

#### 3.1 测定介质及其 pH 值的确定

对 NaOH、Na<sub>2</sub>CO<sub>3</sub>、Na<sub>2</sub>B<sub>4</sub>O<sub>7</sub>·10H<sub>2</sub>O 等介质进 行试验( $Cs^2 = 1.0 \times 10^6 \text{ mol/L}$ ),结果如图 1 所示. 在 pH 值为 10 左右的碱性硼砂溶液介质中 ,硫的导 数波波型敏锐 最为理想.

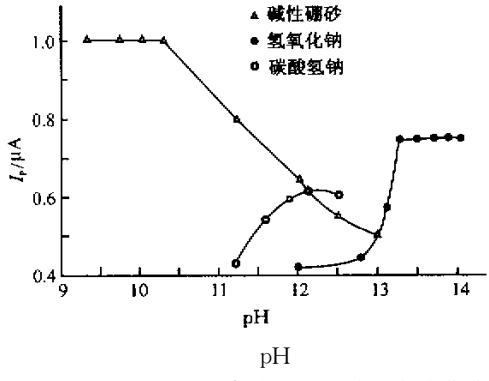


图 1 不同介质中硫的导数波峰电流曲线

Fig. 1 Curve of derivation-peak electric current of sulphur in different mediums

#### 3.2 抗坏血酸(Vc)浓度对峰电流的影响

由于通氮除氧将促进 H<sub>2</sub>S 的逸出,实验证明, 即使在  $p\overline{P}$  值 为  $\overline{R}$  的介质中通氮  $5 \min S^2$  一 浓度仍

有下降,故以抗坏血酸除氧,在碱性硼砂介质中,实 验表明其 Vc 的质量分数在 2.0% 以下时, 对峰电流 无影响,作者选定 Vc 的质量分数为 1.0%.

### 3.3 测定线性范围及检测下限

按实验方法,在选定介质下,硫浓度在1.0×  $10^{-5}$  $\sim$  $1.0 \times 10^{-7}$  mol/L 范围内与峰电流呈良好线 性 检测下限为 5.0×10<sup>-8</sup> mol/L.

#### 3.4 方法的精密度

按实验方法 对硫浓度为  $3.0 \times 10^{-6}$  mol/L 的样 液进行 11 次独立测定,峰电流的平均值为 7.75 uA 标准偏差 0.038 变动系数 0.49.

### 3.5 共存离子对测定的干扰及消除

试验了 20 种常见离子对硫测定的影响,结果 如表 1 所示.

表 1 共存离子干扰试验?

Tab. 1 Disturbance experiment of existence ion								
共存 离子	浓度/ ( mol/I		加入后峰 高/ <sub>#</sub> A	误差/%				
Pb <sup>2+</sup>	4.8×10	6.60	3.20	- 52				
$Zn^{2+}$	$1.5 \times 10$	6.61	2.11	- 68				
$Cd^{2+}$	8.9×10	6.62	1.82	-73				
Cu <sup>2+</sup>	1.6×10	6.55	5.75	-14				
$\mathrm{Bi}^{3+}$	4.8×10	6.61	5.81	- 12				
$\mathrm{Fe}^{2+}$	$1.0 \times 10$	6.56	3.86	- 42				
$\mathrm{Fe}^{3+}$	$1.0 \times 10$	6.58	4.28	- 35				
$\mathrm{Sn}^{4+}$	$8.4 \times 10$	6.58	3.48	- 48				
Co <sup>2+</sup>	1.6×10	6.56	3.56	- 46				
$Mn^{2+}$	1.8×10	6.57	4.47	- 32				
Ni <sup>2+</sup>	$3.4 \times 10$	6.61	5.51	- 32				
Al <sup>3+</sup>	$3.7 \times 10$	6.58	4.58	-31				
$Ag^+$	$4.0 \times 10$	6.60	4.80	-27				
$PO_4^{3-}$	$4.0 \times 10$	2.72	2.52	-7.4				
$SO_3^{2-}$	$4.0 \times 10$	2.71	2.51	-7.4				
Cl-	$1.0 \times 10$	2.70	2.40	- 11				
$\mathrm{Br}^-$	2.0×10	2.70	2.50	-7.4				
Ι-	4.0×10	2.72	2.62	-3.7				
CN-	1.5×10	2.71	2.61	-3.7				
SO <sub>4</sub> <sup>2-</sup>	2.5×10	2.73	2.43	-11				
注 : $+$ 方阳率子试验由 $C_{2}^{2}$ - 6.0 $\times$ 10 - 6 $+$ 3/1 $+$ 7								

注:共存阳离子试验中, $Cs^{2-}=6.0\times10^{-6}$  mol/L,共存

阴离子试验中  $Cs^{2-} = 2.5 \times 10^{-6} \text{ mol/L}$ 

由表 1 可知 ,阴离子干扰不严重 , $CN^-$ 、 $I^-$ 、 $Br^-$ 、 $Cl^-$ 、 $SO_3^{2-}$ 、 $PO_4^{3-}$  的浓度分别为  $S^2$  浓度的 250、200、80、40、20 倍时 , $SO_4^{2-}$  与  $S^2$  相同浓度时无明显干扰 ;而金属离子则干扰严重 ,如  $Bi^{3+}$  的浓度仅为  $S^2$  的 0.008 倍时 ,就产生一定的干扰 .这可能与金属离子硫化物的水溶性相关 ,如  $Ba^{2+}$ 、 $Ca^{2-}$ 的硫化物水溶性较好 ,经试验 , $Ba^{2+}$ 、 $Ca^{2-}$ 的浓度为  $S^2$  的 1000 倍、800 倍时仍无干扰.

为消除共存金属离子的干扰 ,以酒石酸、乙二醇二乙醚二胺四乙酸、乙二胺四乙酸及 TTHA 等络合剂进行掩蔽试验. 结果表明 ,TTHA 的掩蔽效果最佳 对上述金属离子的干扰均有较好的消除作用. 由于 TTHA 也能与  $Hg^{2+}$ 络合 ,故试验了其浓度对峰电流的影响(  $C_s^2$  为  $3.5 \times 10^{-6}$  mol/L ),结果如图 2 所示. 由图 2 可知 ,TTHA 浓度选  $2.0 \times 10^{-3}$  mol/L 为宜 ,在此浓度下 , $Pb^{2+}$ 、  $Zn^{2+}$ 、  $Cd^{2+}$ 、  $Cu^{2+}$ 、  $Bi^{2+}$ 、  $Fe^{2+}$ 、  $Fe^{3+}$ 、  $Sn^{4+}$ 、  $Co^{2+}$ 、  $Ni^2$ 、  $Mn^2$ 、  $Al^{3+}$ 、  $Ag^+$  的的浓度分别是  $S^{2-}$  浓度的 20、 50、 25、 30、 20、 80、 200、 85、 40、 100、 40、 180、 35 倍时均对测定无干扰.

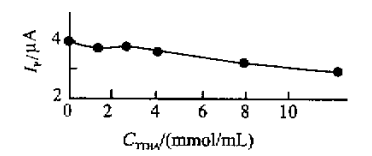


图 2 TTHA 浓度对峰电流的影响

Fig. 2 Concentration of TTHA influence to peak electric current

#### 3.6 电极过程机理初探

**3.6.1** 温度的影响 图3表明,当体系温度高于 20 ℃( $Cs^2$ 为  $4.0 \times 10^{-6}$  mol/L) 时峰电流变化不大, 说明电极过程反应对温度不是很敏感.

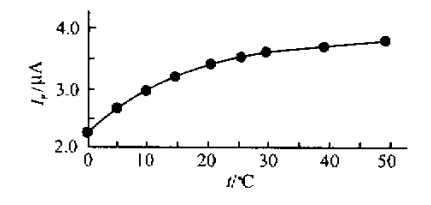


图 3 温度与峰电流关系曲线

Fig.3 Relation curve of temperature and peak electric current

3.6.2 汞柱高度的影响 图4表明 峰电流值与汞柱高度成正比( $Cs^2$ -为  $4.0 \times 10^{-6}$  mol/L),说明电极过程不受**扩**微速度控制.

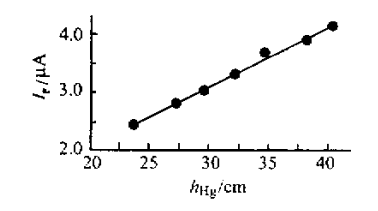


图 4 汞柱与峰电流关系曲线

Fig. 4 Relation curve of mercury column and peak electric current

3.6.3 表面活性剂的影响 表面活性剂对测定的影响如表2所示. 阴阳离子及非离子表面活性剂均对峰电流起强烈抑制作用,说明电极过程的吸附性对峰电流起决定作用,当溶液中存在表面活性剂时,测定就无法进行.

表 2 表面活性剂对峰电流的影响

Tab. 2 Surface-active agent influence on peak electric current

表面活 性剂	添加量 /%	原电流 /μA	加入后峰 电流/µA	变化率 /%
T. 100	0.001	3.30	1.20	- 64
Tr-100	0.01	3.30	0.00	- 100
取力松茄	0.001	3.30	1.80	-45
聚乙烯醇	0.01	3.30	0.00	- 100
十六烷三甲	0.001	3.30	2.40	-27
基溴代烷	0.015	3.30	0.00	- 100
叩哈	0.001	3.30	2.80	- 15
明胶	0.01	3.30	1.00	-70

注:Cs<sup>2-</sup>为5.0×10<sup>-6</sup> mol/L

3.6.4 体系循环伏安图 在 pH 值为 10 的碱性硼砂介质中 ,采用线性循环伏安扫描 ,在 -0.95 V处得一还原峰 ,-0.62 V 处得一氧化峰 ,说明电极反应是不可逆的.还原峰明显高于氧化峰 ,峰型对称 ,说明反应物在表面有较强的吸附性.循环伏安曲线如图 5 所示.

### 3.6.5 起始扫描电位的影响

图6表明 ,当  $Cs^2$ -为  $4.0 \times 10^{-6}$  mol/L 时 ,起始扫描电位越高 ,峰电流越大 ,这是由于  $Hg^{2+}$  溶出较多的缘故.

根据上述研究 电极反应机理可用下列方程式表示:

$$Hg \xrightarrow{-0.5 \text{ v}} Hg^{2+} + 2e \text{ , } Hg^{2+} + S^{2-} \xrightarrow{Hg} HgS(Hg),$$
 $HgS(Hg) \xrightarrow{-0.5 \sim -1.0 \text{ v}} Hg(Hg) + S^{2-} - 2e \text{ ,}$ 

在未起波的瞬间 Hg 少量被氧化为  $Hg^{2+}$  ,  $Hg^{2+}$  与溶液中的  $S^{2-}$  生成 HgS ,并吸附在电极的表

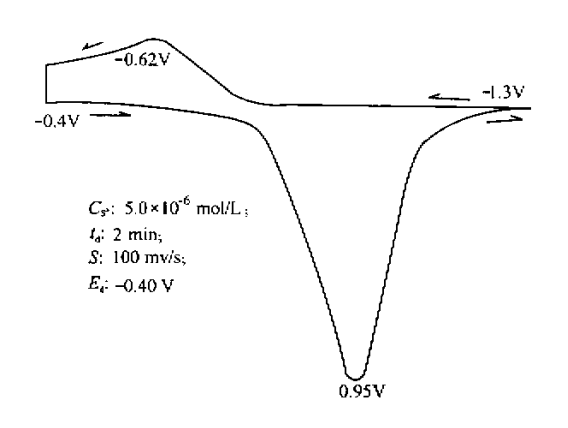


图 5 体系循环伏安曲线

Fig. 5 System circulate volt-ampere curve

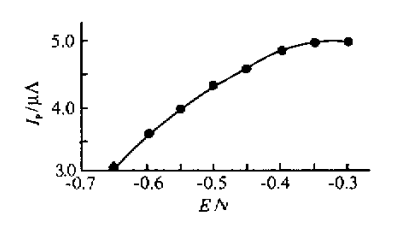


图 6 起始扫描电位与峰电流关系曲线

Fig. 6 Relation curve of start scanning electric potential and peak electric curent

面 ,开始扫描后 ,HgS 被还原成 Hg 与  $S^2$  ,出现一 敏锐还原峰 . 该过程为不可逆过程 .

### 3.7 水样的测定

表 3 各种水样中硫含量测定结果

Tab.3 The determination of results of sulphur concentration in various water specimens

样品		标准液浓 度/( mol/L )			
郊区自来水	0.20	4.1×10 <sup>-7</sup>	0.43	$1.9 \times 10^{-7}$	97
市区自来水	0.24	$4.1 \times 10^{-7}$	0.46	$2.1 \times 10^{-7}$	96
本地井水	1.04	$4.1 \times 10^{-6}$	4.50	$9.4 \times 10^{-7}$	92

### 4 结 论

作者研究的示波极谱测定痕量硫的方法,灵敏度较高,精确度良好,实验条件不苛刻,操作较简便,能较好的满足各类水样中痕量硫的测定.

## 参考文献:

- [1]汪乃兴. 血清中硫的阴极溶出伏安法测定 []. 分析化学 ,1982(3) 236~240.
- [2]林中鹏. 硫离子阴极溶出伏安法研究 ]]. 化学学报 ,1981(1)26~31.
- [3] 张杏元. 高纯碲中微量硫的测定[]] 理化检验 ,1983(6) 8~12.
- [4]林中鹏. 高纯镓中微量硫的极谱测定 J]. 分析化学 ,1977(4)321~324.
- [5]孙世英 , 张明荣 厌氧发酵液中硫快速分光光度法测定[J]. 分析化学 ,1995(2) 201~202.
- [6]毛禹平. 示波极谱法快速测定高纯阴极铜中的痕量硒[J].分析化学 ,1995(11):1360~1361.
- [7]毛禹平. 示波极谱法快速测定高纯阴极铜中的痕量碲 [].分析化学 ,1996(11):1363~1364.
- [8]南开大学化学系编. 仪器分析 M].北京:人民教育出版社 1978.

(责任编辑 朱 明)